

## 対称非線型回路におけるソリトン

RCA基礎研 広田 良吾  
鈴木 公男

### § 1. 序

一次元線型格子と梯子型の LC 四端子網との対応はよく知られているが、一次元非線型格子も同様な非線型回路で置き換えられる。戸田によって発見された一次元格子振動におけるソリトン(格子ソリトン)も回路で実験的に求められた。その結果、回路が Low pass filter である事、即ち Cut Off Frequency が存在する事、と素子の Capacitance が電圧増加によって減少する事が、格子ソリトン生成の充分条件であると判明した。

戸田は一次元非線型格子振動を調べるために、ポテンシャルとして

$$\phi(r) = \frac{a}{b} e^{-br} + ar \quad (1)$$

( $a, b$  は正の定数、 $r$  は原子間の相対変位) を仮定して、格子ソリトンの解析的表現に成功した。戸田の格子ソリト

この運動方程式は回路の式に直すと、Normalize 1 T 形で、

$$\frac{\partial^2}{\partial t^2} Q_n = V_{n+1} + V_{n-1} - 2V_n \quad (2)$$

$$Q_n = \log(1 + V_n) \quad (3)$$

となり、ソリトンは次の式で表わされる。

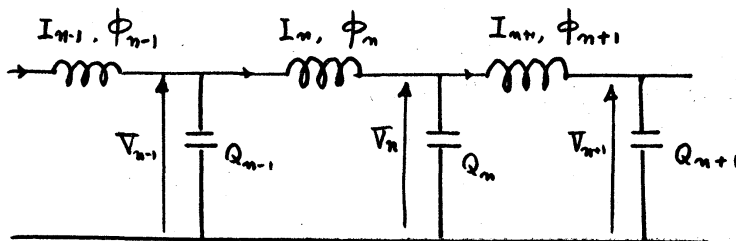
$$V_n(t) = \frac{\omega^2}{\cosh^2(\omega t - pn)}, \quad \omega = \sinh p \quad (4)$$

ここで、 $V_n(t)$  は  $n$  番目の Capacitance にかゝる電圧を表わす。

我々は回路の実験から、(1)式のポテンシヤルのみがソリトンを生成させるポテンシヤルでない事を知ったので、ソリトンの運動方程式の簡素化を試み、(2)式以外の非線型方程式にも格子ソリトンの性質をもつ解がある事を見出した。

## §2. 対称非線型回路

下図に示す梯子型四端子網を考える。



$n$  番目の Inductance を流れる電流を  $I_n$ , 磁束を  $\phi_n$ ,  $n$  番目の Capacitance にかゝる電圧を  $V_n$ , そのに蓄積された charge を  $Q_n$  とすると、次の方程式が得られる。

$$\frac{\partial}{\partial t} Q_n = I_n - I_{n+1} \quad (5)$$

$$\frac{\partial}{\partial t} \phi_n = V_{n-1} - V_n \quad (6) \quad n = 1, 2, 3, \dots$$

こゝで電圧-電荷の式、 $Q_n = Q(V_n)$  と、電流-磁束の式  $\phi_n = \phi(I_n)$  が同じ形であると仮定し、 $V_n = v_n$ ,  $I_n = i_{n-\frac{1}{2}}$  とおけば、(5)、(6)式は一つの方程式にまとめられる：

$$\frac{\partial}{\partial t} Q(v_n) = i_{n-\frac{1}{2}} - i_{n+\frac{1}{2}} \quad (7)$$

こゝで  $n$  は整数又は半整数。

### i) 保存則

(7)式より次の保存則が証明される。

$$1) \int_{-\infty}^{\infty} v_n(t) dt = \text{一定} \quad (8)$$

$$2) \int_{-\infty}^{\infty} v_n(t) v_{n+\frac{1}{2}}(t) dt = \text{一定} \quad (9)$$

(9)式は Power の保存則を表わしている。

もし  $V_n$  が一定の速度  $\omega/p$  で動いているならば:

$$V_n(t) = V(\omega t - pn), \quad (10)$$

$$\frac{\int_{-\infty}^{\infty} V_n(t) dt}{\int_{-\infty}^{\infty} Q_n(t) dt} = \frac{\omega}{p} \quad (11)$$

である。

二つの波  $V_n^0$  と  $V_n$  の相互作用を考える。今  $V_n^0$  と  $V_n^0 + V_n$  がそれぞれ(7)式を満足すると仮定する:

$$\frac{\partial}{\partial t} Q(V_n^0) = V_{n-\frac{1}{2}}^0 - V_{n+\frac{1}{2}}^0 \quad (12)$$

$$\frac{\partial}{\partial t} Q(V_n^0 + V_n) = (V_{n-\frac{1}{2}}^0 + V_{n-\frac{1}{2}}) - (V_{n+\frac{1}{2}}^0 + V_{n+\frac{1}{2}}) \quad (13)$$

(13) 式から(12)式を引いて次の方程式を得る:

$$\frac{\partial}{\partial t} q(V_n; V_n^0) = V_{n-\frac{1}{2}} - V_{n+\frac{1}{2}} \quad (14)$$

$$\therefore \text{よって} \quad q(V_n; V_n^0) = Q(V_n^0 + V_n) - Q(V_n^0) \quad (15)$$

(14) 式に  $V_n$  をかけて整理すると

$$\begin{aligned} & \frac{\partial}{\partial t} [q(v_m; v_m^0) v_m - E(v_m; v_m^0)] + \frac{\partial v_m^0}{\partial t} \frac{\partial}{\partial v_m^0} E(v_m; v_m^0) \\ & = v_{m-\frac{1}{2}} v_m - v_m v_{m+\frac{1}{2}} \end{aligned} \quad (16)$$

$$\therefore E(v_m; v_m^0) = \int_0^{v_m} q(v_m'; v_m^0) dv_m' \quad (17)$$

(14) 式は二つの波が衝突する時の片方の波の Power の変化を表わしている。

## ii) 連続体近似

(17) 式の右辺の差分を微分で置き換えると次の微分方程式が得られ、一般解が求められる。

$$\frac{\partial}{\partial t} Q(v(t, x)) = -\frac{\partial}{\partial x} v(t, x) \quad (18)$$

$$\text{又は} \quad Q' \frac{\partial v}{\partial t} + \frac{\partial v}{\partial x} = 0 \quad , \quad Q' = \frac{\partial Q(v)}{\partial v} \quad (19)$$

初期条件  $v(0, x) = F(-x)$  を満たす解は、

$$v(t, x) = F\left(\frac{t}{Q'} - x\right) \quad (20)$$

で与えられる。

## § 3. 非線型回路におけるソリトン

$Q(v_n)$  と 1 次 の 形 を とす

$$a) \quad Q(v_n) = \frac{v_n}{1+v_n} \quad (21)$$

その時、(17) 式は

$$\frac{1}{(1+v_n)^2} \frac{\partial v_n}{\partial t} = v_{n-\frac{1}{2}} - v_{n+\frac{1}{2}} \quad (22)$$

連続体近似では

$$\frac{1}{(1+v)^2} \frac{\partial v}{\partial t} = - \frac{\partial v}{\partial x} \quad (23)$$

解は

$$v(t, x) = F((1+v)^2 t - x) \quad (24)$$

ソリトンの形を (22) 式の解は

$$v_n(t) = \frac{\omega^2}{\cosh^2 \xi} \quad (25)$$

$$\xi = 2\Omega t - 2pn \quad (26)$$

$$\omega = \sinh p \quad (27)$$

$$\Omega = \sinh p \cosh p \quad (28)$$

Fourier 分解は:

$$\int_{-\infty}^{\infty} v_n(t) e^{i\omega' t} dt = \frac{\pi \omega^2 \omega'}{4\Omega^2} \frac{e^{i \frac{\omega'}{\Omega} p n}}{\sinh \frac{\pi \omega'}{4\Omega}} \quad (29)$$

b)

$$Q(u_n) = \tan^{-1} u_n. \quad (30)$$

その時(1)式は

$$\frac{1}{1+u_n^2} \frac{\partial u_n}{\partial t} = u_{n-\frac{1}{2}} - u_{n+\frac{1}{2}}. \quad (31)$$

連続体近似では

$$\frac{1}{1+u^2} \frac{\partial u}{\partial t} = -\frac{\partial u}{\partial x} \quad (32)$$

解は

$$u(t, x) = F((1+u^2)t - x). \quad (33)$$

(31)式の解は

i) ソリトン

$$u_n(t) = \frac{\omega}{\cosh \xi} \quad (34)$$

$$\xi = 2\omega t - 2pn \quad (35)$$

$$\omega = \sinh p \quad (36)$$

Fourier 分解は

$$\int_{-\infty}^{\infty} u_n(t) e^{i\omega' t} dt = \frac{\pi}{2} \frac{e^{i \frac{\omega'}{\omega} p n}}{\cosh \frac{\pi \omega'}{4\omega}}. \quad (37)$$

このソリトンは、 $P$ の値(波高)に関係なく

$$\int_{-\infty}^{\infty} U_m(t) dt = \frac{\pi}{2} \quad (38)$$

という性質をもっている。この事実は任意の波  $V_m(t)$  がソリトンは分解する現象を考える時に大切である。(8)式の保存則と上式から  $\int_{-\infty}^{\infty} V_m(t) dt \neq \frac{\pi}{2} \times \text{整数}$  であれば  $V_m(t)$  はソリトンだけに分解するのでなく、それ以外の波が現われる事になる。

Total Power は  $P$  に比例する:

$$\int_{-\infty}^{\infty} U_m(t) U_{m-\frac{1}{2}}(t) dt = P. \quad (39)$$

## ii) ソリトンの衝突

二つのソリトンが同方向に走っている時 a)、逆方向に走っている時 b)、は次の式で表わされる。衝突時の波高は a) では低くなり b) では高くなる。b) の場合は Shock Wave による二物が破壊される現象を良く説明している。

### a) 追突

$$\bar{U}_m(t) = \frac{\omega_1 \operatorname{sech} \xi_1 + \omega_2 \operatorname{sech} \xi_2}{\sinh \varphi \operatorname{sech} \xi_1 \operatorname{sech} \xi_2 + \cosh \varphi - \sinh \varphi \tanh \xi_1 \tanh \xi_2} \quad (40)$$

$$\xi_1 = 2\omega_1 t - 2P_1 x, \quad \omega_1 = \sinh P_1 \quad (41)$$

$$\xi_2 = 2\omega_2 t - 2P_2 x, \quad \omega_2 = \sinh P_2 \quad (42)$$



$$\tan \varphi = \frac{\sinh p_1 \sinh p_2}{\cosh p_1 \cosh p_2 - 1} \quad (43)$$

衝突の時.

$$U_n(t) = (\omega_1 + \omega_2) e^{-\varphi}, \quad \text{at } \xi_1 = \xi_2 = 0. \quad (44)$$

b) 正面衝突

$$U_n(t) = \frac{\omega_1 \operatorname{sech} \xi_1 + \omega_2 \operatorname{sech} \xi_2}{-\sin \varphi \operatorname{sech} \xi_1 \operatorname{sech} \xi_2 + \cosh \varphi + \sinh \varphi \tanh \xi_1 \tanh \xi_2} \quad (45)$$

$$\xi_1 = 2\omega_1 t - 2p_1 n, \quad \omega_1 = \sinh p_1 \quad (46)$$

$$\xi_2 = 2\omega_2 t + 2p_2 n, \quad \omega_2 = \sinh p_2 \quad (47)$$

$$\tan \varphi = \frac{\sinh p_1 \sinh p_2}{\cosh p_1 \cosh p_2 + 1} \quad (48)$$

衝突の時.

$$U_n(t) = (\omega_1 + \omega_2) e^{\varphi}, \quad \text{at } \xi_1 = \xi_2 = 0. \quad (49)$$

iii) 連成波

(31)式は連成波を示す解をもつているがそれには二種類あり、正負のソリトンが交互に並んだもの a)、と同符号のソリ

トニが同期的に並んだものがある。b)。

$$a) \quad U_n(t) = x \omega \operatorname{cn} \xi \quad (50)$$

$$= \sum_{m=-\infty}^{\infty} \frac{(-1)^m s \omega}{\operatorname{cosh} s(\xi + 2mR)} \quad (51)$$

$$\xi = 2\omega t - 2pn \quad (52)$$

$$\omega = \frac{snp}{dnp}, \quad s = \frac{\pi}{2R'} \quad (53)$$

$$b) \quad U_n(t) = \omega \operatorname{dn} \xi \quad (54)$$

$$= \sum_{m=-\infty}^{\infty} \frac{s \omega}{\operatorname{cosh} s(\xi + 2mR)} \quad (55)$$

$$\xi = 2\omega t - 2pn \quad (56)$$

$$\omega = \frac{snp}{cnp}, \quad s = \frac{\pi}{2R'} \quad (57)$$

とて  $sn, cn, dn$  は Jacobi の楕円関数で、 $x$  は母数、 $R$  は第一種完全楕円積分、 $R'(k) = R(\sqrt{1-k^2})$ 、 $R(0) = \frac{\pi}{2}$ 、 $R(1) = \infty$

$$sn(\xi, 0) = \sin \xi, \quad cn(\xi, 0) = \cos \xi, \quad dn(\xi, 0) = 1$$

$$sn(\xi, 1) = \tanh \xi, \quad cn(\xi, 1) = \operatorname{sech} \xi, \quad dn(\xi, 1) = \operatorname{sech} \xi。$$